



Laboratorium EMVO Sp. J. Urbański, Pawelak
ul. Jasna 1
00-013 Warszawa

tel. +48 22 780 29 64
e-mail: laboratorium@emvo.pl



AB 1630

Sprawozdanie z pomiarów pól elektromagnetycznych - środowisko nr 94/12/OŚ/2022– P4-W



| | | |
|-------------------|---|--------------------------|
| Nr i nazwa stacji | KIE1062A | |
| Adres | Kielce, Malików 65//1, dz. nr 179, pow. Kielce, woj. świętokrzyskie | |
| Opracowanie | Martyna Karczmarczyk | Specjalista ds. pomiarów |
| Autoryzacja | Andrzej Urbański | Kierownik Laboratorium |
| Podpis | | |
| Data | 2022-12-22 | |

Spis treści

| | |
|---|---|
| 1. Informacje ogólne..... | 3 |
| 2. Podstawa prawna. | 3 |
| 3. Opis pomiarów..... | 4 |
| 4. Zróżnicowanie dopuszczalne poziomy pól elektromagnetycznych..... | 5 |
| 5. Charakterystyka źródeł PEM..... | 5 |
| 6. Wyniki pomiarów..... | 5 |
| 7. Stwierdzenie zgodności | 6 |
| 8. Oświadczenie..... | 7 |
| 9. Spis załączników. | 8 |

1. Informacje ogólne.

| | |
|--|--|
| Zleceniodawca | P4 sp. z o.o., ul. Wynałazek 1, 02-677 Warszawa osoba udzielająca informacji- Monika Bierozka |
| Istotne informacje dostarczone przez klienta | komplet informacji niezbędnych do wykonania pomiarów i opracowania sprawozdania |
| Dane otrzymane od klienta mogące mieć wpływ na ważność wyników | Dane anten sektorowych, dane anten radioliniowych, parametry pracy instalacji, ustawienie pochylenia anten |
| Prowadzący instalację | P4 sp. z o.o., ul. Wynałazek 1, 02-677 Warszawa |
| Lokalizacja obiektu | Kielce, Malików 65//1, dz. nr 179, pow. Kielce, woj. świętokrzyskie |
| Miejsce instalacji anten | Wieża kratowa |
| Miejsce instalacji urządzeń | Outdoor |
| Osoby wykonujące pomiar | Wojciech Kaczorek |
| Data wykonania pomiaru | 22.12.2022 |
| Temperatura na początku pomiaru [°C] | 4,0 |
| Temperatura na koniec pomiaru [°C] | 4,0 |
| Warunki atmosferyczne | Brak opadów |
| Wilgotność na początku pomiaru [%] | 89,0 |
| Wilgotność na koniec pomiaru [%] | 89,0 |
| Godzina na początku pomiaru | 11:30 |
| Godzina na koniec pomiaru | 13:20 |
| Inne źródła pól elektromagnetycznych oznaczone na załączniku graficznym | Występują |
| Parametry pracy instalacji | Tryb eksploatacyjny |

2. Podstawa prawna.

2.1 Normy i rozporządzenia:

- Rozporządzeniem Ministra Klimatu z dnia 17 lutego 2020 r. w sprawie sposobów sprawdzania dotrzymania dopuszczalnych poziomów pól elektromagnetycznych w środowisku (Dz.U. 2020 poz. 258)
- Rozporządzenie Ministra Zdrowia z dnia 17 grudnia 2019 r. w sprawie dopuszczalnych poziomów pól elektromagnetycznych w środowisku (Dz.U. 2019 poz. 2448)
- Obwieszczenie Marszałka Sejmu Rzeczypospolitej Polskiej z dnia 29 września 2021 r. w sprawie ogłoszenia jednolitego tekstu ustawy - Prawo ochrony środowiska (Dz.U. 2021 poz. 1973)
- Rozporządzenie Ministra Klimatu i Środowiska z dnia 6 maja 2022 r. zmieniające rozporządzenie w sprawie sposobów sprawdzania dotrzymywania dopuszczalnych poziomów pól elektromagnetycznych w środowisku (Dz.U. 2022 poz. 1121).

„Bez pisemnej zgody Laboratorium niniejsze sprawozdanie nie może być powielane inaczej, jak tylko w całości. Ponadto wyniki dotyczą tylko badanych obiektów przywołanych w niniejszym sprawozdaniu z badań”

3. Opis pomiarów

| | |
|--------------------------|--|
| Metodologia pomiarowa | Pomiary w oparciu o Rozporządzeniem Ministra Klimatu z dnia 17 lutego 2020 r. w sprawie sposobów sprawdzania dotrzymania dopuszczalnych poziomów pól elektromagnetycznych w środowisku (Dz.U. 2020 poz. 258) oraz Rozporządzenie Ministra Klimatu i Środowiska z dnia 6 maja 2022 r. zmieniające rozporządzenie w sprawie sposobów sprawdzania dotrzymywania dopuszczalnych poziomów pól elektromagnetycznych w środowisku (Dz.U. 2022 poz. 1121). |
| Cel badań | Określenie wartości natężenia pola elektrycznego w miejscach dostępnych dla ludności. |
| Opis zestawu pomiarowego | Miernik Narda NBM 550, Sonda EF9091, o zakresie pomiarowym 0,7 V/m - 300V/m pracująca w paśmie 0,1 – 90 GHz, świadectwo wydane przez Laboratorium Wzorców i Metrologii Pola Elektromagnetycznego, Instytut Telekomunikacji, Teleinformatyki i Akustyki Politechniki Wrocławskiej. Świadectwo ważne do 10.06.2024r. Miernik Narda NBM 550, Sonda EF9091 pracująca w zakresie temperatury -10°C +50°C oraz wilgotności 5% - 95%. Niepewność rozszerzona 59% przy poziomie ufności 95% z uwzględnieniem współczynnika rozszerzenia k=2. |
| Wypożyczenie pomocnicze | Termohigrometr Termoprodukt, typ: Termik+, Nr. inwentarzowy 43/WL, nr identyfikacyjny 1530619, świadectwo wzorcowania nr 0392/AH/20 z dn. 02.03.2020 r. wydane przez Laboratorium Pomiarowe "MUTECH". Dalmierz laserowy BOSH GLM 40, Nr. inwentarzowy 27/WL, nr seryjny 711425432, Świadectwo wzorcowania L4-L41.4180.141.2018.3061.1 z dnia 12 września 2018 wydane przez Pracownia Długości Samodzielnego Laboratorium Długości w Głównym Urzędzie Miar. GPS Garmin 64s okresowo sprawdzany w punktach osnowy geodezyjnej klasy 3 na podstawie licencji punktu, zgodnie z procedurą sprawdzeń okresowych IS/PO16-11/03. |
| Pomiary zostały wykonane | <ol style="list-style-type: none">1. na głównych i pomocniczych kierunkach pomiarowych, na kierunkach zbliżonych do azymutów anten oraz w dodatkowych pionach pomiarowych zgodnie z wymaganiami pkt 12, 13, 14 i 19 Rozporządzenia Ministra Klimatu z dnia 17 lutego 2020 r. (Dz. U. 2020, poz. 258) oraz Rozporządzenia Ministra Klimatu i Środowiska z dnia 6 maja 2022 r. zmieniającego rozporządzenie w sprawie sposobów sprawdzania dotrzymywania dopuszczalnych poziomów pól elektromagnetycznych w środowisku (Dz.U. 2022 poz. 1121).2. na obszarze pomiarowym, dla którego, na podstawie uprzednio przeprowadzonych obliczeń stwierdzono w miejscach dostępnych dla ludności występowanie pól elektromagnetycznych o najwyższym poziomie, które pochodzą z badanej instalacji zgodnie z wymaganiami pkt 5 ppkt 2 oraz pkt 13 ppkt 1 Rozporządzenia Ministra Klimatu z dnia 17 lutego 2020 r. w sprawie sposobów sprawdzania dotrzymania dopuszczalnych poziomów pól elektromagnetycznych w środowisku (Dz. U. 2020, poz. 258) oraz Rozporządzenia Ministra Klimatu i Środowiska z dnia 6 maja 2022 r. zmieniającego rozporządzenie w sprawie sposobów sprawdzania dotrzymywania dopuszczalnych poziomów pól elektromagnetycznych w środowisku (Dz.U. 2022 poz. 1121). Wyniki obliczeń nie uwzględniały parametrów pracy instalacji innych operatorów występujących na obiekcie bądź w obszarze pomiarowym.3. w miejscach dostępnych dla ludności.4. miejsca niedostępne podczas wykonywania pomiarów wskazane zostały w pkt 6 (tabeli wyniki pomiarów). |

Szczególne warunki podczas wykonywania pomiarów

Pomiary wykonane zostały podczas obowiązywania w kraju stanu zagrożenia epidemicznego, zgodnie z art. 122a ust. 1b Ustawy z dnia 27 kwietnia 2001 r. – Prawo ochrony środowiska (Dz. U. z 2019 r. poz. 1396, z późn. zm.9)).

Warunki pracy urządzeń nadawczych

Tryb pracy eksploatacyjny.

4. Zróżnicowanie dopuszczalne poziomy pól elektromagnetycznych.

Zakresy znajdują się w Dzienniku Ustaw z dnia 17 grudnia 2019 r. przedstawione są w tabeli nr 2 (Dz. U. z 2019r. poz. 2448).

| Parametr fizyczny | Składowa elektryczna E (V/m) | Składowa magnetyczna H (A/m) | Gęstość mocy S (W/m ²) |
|---|------------------------------|------------------------------|------------------------------------|
| Zakres Częstotliwości pola elektromagnetycznego | | | |
| od 400 MHz do 2000 MHz | $1,375 \times f^{0,5}$ | $0,0037 \times f^{0,5}$ | $f / 200$ |
| od 2 GHz do 300 GHz | 61 | 0,16 | 10 |

5. Charakterystyka źródeł PEM.

Zgodnie z informacją otrzymaną od Klienta pomiary zostały wykonane przy ustawieniach pochylenia anten zgodnych z pkt. 13, ppkt 2 Rozporządzenia Ministra Klimatu z dnia 17 lutego 2020 roku.

Tabela 1. Anteny sektorowe - dane otrzymane od klienta

| | | | | | | | | | | | | | | | | |
|---------------------------------|---|---------------------|------------|------------|------------|------------|------------------|------------|------------|------------|------------|------------------|------------|------------|------------|------------|
| Charakterystyka promieniowania | | kierunkowa | | | | | | | | | | | | | | |
| Rzeczywisty czas pracy [h/dobę] | | 24 | | | | | | | | | | | | | | |
| Rodzaj wytwarzanego pola | | stacjonarne | | | | | | | | | | | | | | |
| L p | Wyszczególnienie | sektor 1 | | | | | sektor 2 | | | | | sektor 3 | | | | |
| I | Nadajnik stacji bazowej: | | | | | | | | | | | | | | | |
| 1 | Typ / Producent | RBS / SRAN Ericsson | | | | | | | | | | | | | | |
| 2 | Częstotliwość (pasmo) MHz | 2600 | 2100 | 1800 | 900 | 800 | 2600 | 2100 | 1800 | 900 | 800 | 2600 | 2100 | 1800 | 900 | 800 |
| 3 | Maksymalna moc nadawana na sektor [dBm] | 52,04 | 53,01 | 53,01 | 47,78 | 49,03 | 52,04 | 53,01 | 53,01 | 47,78 | 49,03 | 52,04 | 53,01 | 53,01 | 47,78 | 49,03 |
| II | Obciążenie: | | | | | | | | | | | | | | | |
| 1 | Typ anteny | Huawei ASI4517R3 | | | | | Huawei ASI4517R3 | | | | | Huawei ASI4517R3 | | | | |
| 2 | Producent anteny | Huawei | | | | | Huawei | | | | | Huawei | | | | |
| 3 | Nazwa anteny | 11_GH LNTV | 11_GH LNTV | 11_GH LNTV | 11_GH LNTV | 11_GH LNTV | 21_GH LNTV | 21_GH LNTV | 21_GH LNTV | 21_GH LNTV | 21_GH LNTV | 31_GH LNTV | 31_GH LNTV | 31_GH LNTV | 31_GH LNTV | 31_GH LNTV |
| 4 | Ilość anten | 1 | | | | | 1 | | | | | 1 | | | | |
| 5 | Azymut | 100 | | | | | 230 | | | | | 340 | | | | |
| 6 | Zakres kątów pochylenia anten [°] | 2-12 | 2-12 | 2-12 | 0-10 | 0-10 | 2-12 | 2-12 | 2-12 | 0-10 | 0-10 | 2-12 | 2-12 | 2-12 | 0-10 | 0-10 |
| 7 | Wysokość zainst. n.p.t. [m] | 38,00 | | | | | 38,00 | | | | | 38,00 | | | | |
| 8 | EIRP [W] | 26067 | | | | | 26067 | | | | | 26067 | | | | |

Tabela 2. Anteny radioliniowe- dane otrzymane od klienta

| Charakterystyka promieniowania | | | | kierunkowa | | | |
|---------------------------------|------------------|---------------------------|---------------------|-----------------|---------------------|------------|------------------------|
| Rzeczywisty czas pracy [h/dobę] | | | | 24 | | | |
| Rodzaj wytwarzanego pola | | | | stacjonarne | | | |
| Lp | Linia radiowa | | | Antena | | | |
| | typ/producent | częstotliwość pracy [GHz] | moc wyjściowa [dBm] | typ/producent | średnica anteny [m] | azymut [°] | wysokość zainstal. [m] |
| 1 | OPTIX RTN/HUAWEI | 80 | 18 | VHLP1-80/Andrew | 0,3 | 111 | 39,50 |

6. Wyniki pomiarów.

Wyniki pomiarów pól elektromagnetycznych dla celów ochrony środowiska przedstawia poniższa tabela. Piony pomiarowe zostały przedstawione w zał. 2.

| Nr PP | Pole-E [V/m] | Pole-E, +U [V/m] | Pole-H [A/m] | Pole-H +U [A/m] | Wys. pomiaru [m] | Opis pionu | Uwagi | WM _E | WM _H |
|-------|--------------|------------------|--------------|-----------------|------------------|--------------------------------|--|-----------------|-----------------|
| 1 | 1,0 | 1,59 | 0,003 | 0,004 | 0,3-2,0 | N:50°53'15.1" E:20°34'09.4" | otoczenie stacji bazowej - 50m wzdłuż gł. osi promieniowania - GKP | 0,057 | 0,058 |
| 2 | 0,9 | 1,43 | 0,002 | 0,004 | 0,3-2,0 | N:50°53'14.8" E:20°34'11.7" | otoczenie stacji bazowej - 100m wzdłuż gł. osi promieniowania - GKP | 0,051 | 0,052 |
| 3 | 0,8 | 1,27 | 0,002 | 0,003 | 0,3-2,0 | N:50°53'14.5" E:20°34'14.3" | otoczenie stacji bazowej - 150m wzdłuż gł. osi promieniowania - GKP | 0,045 | 0,046 |
| 4 | 1,2 | 1,91 | 0,003 | 0,005 | 0,3-2,0 | N:50°53'13.7" E:20°34'22.8" | otoczenie stacji bazowej - 320m wzdłuż gł. osi promieniowania - GKP | 0,068 | 0,069 |
| 5 | 1,0 | 1,59 | 0,003 | 0,004 | 0,3-2,0 | N:50°53'14.4" E:20°34'04.5" | otoczenie stacji bazowej - 50m wzdłuż gł. osi promieniowania - GKP | 0,057 | 0,058 |
| 6 | 0,9 | 1,43 | 0,002 | 0,004 | 0,3-2,0 | N:50°53'13.4" E:20°34'02.3" | otoczenie stacji bazowej - 100m wzdłuż gł. osi promieniowania - GKP | 0,051 | 0,052 |
| 7 | 0,8 | 1,27 | 0,002 | 0,003 | 0,3-2,0 | N:50°53'12.4" E:20°34'00.2" | otoczenie stacji bazowej - 150m wzdłuż gł. osi promieniowania - GKP | 0,045 | 0,046 |
| 8 | 0,7* | 1,27 | 0,002 | 0,003 | 0,3-2,0 | N:50°53'11.3" E:20°33'58.1" | otoczenie stacji bazowej - 200m wzdłuż gł. osi promieniowania - GKP | 0,045 | 0,046 |
| 9 | 0,7* | 1,27 | 0,002 | 0,003 | 0,3-2,0 | N:50°53'10.3" E:20°33'56.3" | otoczenie stacji bazowej - 250m wzdłuż gł. osi promieniowania - GKP | 0,045 | 0,046 |
| 10 | 0,7* | 1,27 | 0,002 | 0,003 | 0,3-2,0 | N:50°53'09.3" E:20°33'54.2" | otoczenie stacji bazowej - 300m wzdłuż gł. osi promieniowania - GKP | 0,045 | 0,046 |
| 11 | 0,7* | 1,27 | 0,002 | 0,003 | 0,3-2,0 | N:50°53'08.4" E:20°33'52.1" | otoczenie stacji bazowej - 350m wzdłuż gł. osi promieniowania - GKP | 0,045 | 0,046 |
| 12 | 0,7* | 1,27 | 0,002 | 0,003 | 0,3-2,0 | N:50°53'07.8" E:20°33'50.9" | otoczenie stacji bazowej - 380m wzdłuż gł. osi promieniowania - GKP | 0,045 | 0,046 |
| 13 | 0,7* | 1,27 | 0,002 | 0,003 | 0,3-2,0 | N:50°53'17.2" E:20°34'05.6" | otoczenie stacji bazowej - 50m wzdłuż gł. osi promieniowania - GKP | 0,045 | 0,046 |
| 14 | 1,0 | 1,59 | 0,003 | 0,004 | 0,3-2,0 | N:50°53'18.7" E:20°34'04.9" | otoczenie stacji bazowej - 100m wzdłuż gł. osi promieniowania - GKP | 0,057 | 0,058 |
| 15 | 1,0 | 1,59 | 0,003 | 0,004 | 0,3-2,0 | N:50°53'20.1" E:20°34'04.1" | otoczenie stacji bazowej - 150m wzdłuż gł. osi promieniowania - GKP | 0,057 | 0,058 |
| 16 | 0,8 | 1,27 | 0,002 | 0,003 | 0,3-2,0 | N:50°53'21.6" E:20°34'03.3" | otoczenie stacji bazowej - 200m wzdłuż gł. osi promieniowania - GKP | 0,045 | 0,046 |
| 17 | 0,8 | 1,27 | 0,002 | 0,003 | 0,3-2,0 | N:50°53'23.0" E:20°34'02.2" | otoczenie stacji bazowej - 250m wzdłuż gł. osi promieniowania - GKP | 0,045 | 0,046 |
| 18 | 0,7* | 1,27 | 0,002 | 0,003 | 0,3-2,0 | N:50°53'24.6" E:20°34'01.5" | otoczenie stacji bazowej - 300m wzdłuż gł. osi promieniowania - GKP | 0,045 | 0,046 |
| 19 | 0,7* | 1,27 | 0,002 | 0,003 | 0,3-2,0 | N:50°53'26.1" E:20°34'00.7" | otoczenie stacji bazowej - 350m wzdłuż gł. osi promieniowania - GKP | 0,045 | 0,046 |
| 20 | 0,7* | 1,27 | 0,002 | 0,003 | 0,3-2,0 | N:50°53'27.0" E:20°34'00.1" | otoczenie stacji bazowej - 380m wzdłuż gł. osi promieniowania - GKP | 0,045 | 0,046 |
| 21 | 0,8 | 1,27 | 0,002 | 0,003 | 0,3-2,0 | N:50°53'13.9" E:20°34'11.4" | otoczenie stacji bazowej - 100m wzdłuż gł. osi promieniowania - GKP | 0,045 | 0,046 |
| 22 | 0,7* | 1,27 | 0,002 | 0,003 | 0,3-2,0 | N:50°53'13.5" E:20°34'08.2" | otoczenie stacji bazowej - PKP | 0,045 | 0,046 |

„Bez pisemnej zgody Laboratorium niniejsze sprawozdanie nie może być powielane inaczej, jak tylko w całości. Ponadto wyniki dotyczą tylko badanych obiektów przywołanych w niniejszym sprawozdaniu z badań”

| | | | | | | | | | |
|----|------|------|-------|-------|---------|--------------------------------|---|-------|-------|
| 23 | 0,7* | 1,27 | 0,002 | 0,003 | 0,3-2,0 | N:50°53'12.6" E:20°34'04.7" | otoczenie stacji bazowej -PKP | 0,045 | 0,046 |
| 24 | 0,7* | 1,27 | 0,002 | 0,003 | 0,3-2,0 | N:50°53'14.8" E:20°34'01.9" | otoczenie stacji bazowej -PKP | 0,045 | 0,046 |
| 25 | 0,7* | 1,27 | 0,002 | 0,003 | 0,3-2,0 | N:50°53'16.6" E:20°34'02.7" | otoczenie stacji bazowej -PKP | 0,045 | 0,046 |
| 26 | 0,7* | 1,27 | 0,002 | 0,003 | 0,3-2,0 | N:50°53'17.4" E:20°34'07.7" | otoczenie stacji bazowej -PKP | 0,045 | 0,046 |
| 27 | 0,7* | 1,27 | 0,002 | 0,003 | 0,3-2,0 | N:50°53'16.1" E:20°34'09.2" | otoczenie stacji bazowej -PKP | 0,045 | 0,046 |
| A | 0,7* | 1,27 | 0,002 | 0,003 | 0,3-2,0 | N:50°53'14.7" E:20°34'17.3" | Malików 75a/75, pomiar przed posesją -DPP | 0,045 | 0,046 |
| B | 0,7* | 1,27 | 0,002 | 0,003 | 0,3-2,0 | N:50°53'14.4" E:20°34'20.2" | Malików 73a, pomiar przed posesją -DPP | 0,045 | 0,046 |
| C | 0,7* | 1,27 | 0,002 | 0,003 | 0,3-2,0 | N:50°53'13.9" E:20°34'22.5" | Malików 73/71, pomiar przed posesją -DPP | 0,045 | 0,046 |
| D | 0,7* | 1,27 | 0,002 | 0,003 | 0,3-2,0 | N:50°53'13.6" E:20°34'17.4" | Malików 67b, pomiar przed posesją -DPP | 0,045 | 0,046 |
| E | 0,7* | 1,27 | 0,002 | 0,003 | 0,3-2,0 | N:50°53'13.4" E:20°34'19.7" | Malików 67a, pomiar przed posesją -DPP | 0,045 | 0,046 |
| F | 0,7* | 1,27 | 0,002 | 0,003 | 0,3-2,0 | N:50°53'13.3" E:20°34'22.3" | Malików 67/69, pomiar przed posesją -DPP | 0,045 | 0,046 |
| G | 0,7* | 1,27 | 0,002 | 0,003 | 0,3-2,0 | N:50°53'13.3" E:20°34'22.9" | Malików 64, pomiar przed posesją -DPP | 0,045 | 0,046 |
| H | 0,7* | 1,27 | 0,002 | 0,003 | 0,3-2,0 | N:50°53'13.8" E:20°34'23.1" | Malików 66/70, pomiar przed posesją -DPP | 0,045 | 0,046 |
| I | 0,7* | 1,27 | 0,002 | 0,003 | 0,3-2,0 | N:50°53'12.9" E:20°34'25.6" | Malików 66a, pomiar przed posesją -DPP | 0,045 | 0,046 |

Wynik pomiaru pole - E [V/m] - maksymalna wartość chwilowa zmierzona w danym pionie pomiarowym (uśredniona na podstawie punktu 11 załącznika do Rozporządzenia Ministra Klimatu z dnia 17 lutego 2020 r. w sprawie sposobów sprawdzania dotrzymania dopuszczalnych poziomów pól elektromagnetycznych w środowisku (Dz.U. 2020 poz. 258, Dz.U. 2022 poz. 1121)). Zgodnie z pkt. 7 załącznika do Rozporządzenia Ministra Klimatu z dnia 17 lutego 2020 r. w sprawie sposobów sprawdzania dotrzymania dopuszczalnych poziomów pól elektromagnetycznych w środowisku (Dz.U. 2020 poz. 258, Dz.U. 2022 poz. 1121) nie stosuje się poprawek pomiarowych.

Przyjęto najniższą dopuszczalną wartość składowej elektrycznej pola dla objętego pomiarami zakresu częstotliwości $\min(ME_{gr}) = 28 \text{ V/m}$ oraz składowej magnetycznej $\min(MH_{gr}) = 0,073 \text{ A/m}$.

* - wartość zmierzona poniżej zakresu akredytacji. Do obliczeń przyjęto wartość zgodną z dolną granicą akredytowanego zakresu pomiarowego metody.

GKP - główne kierunki pomiarowe

PKP - pomocnicze kierunki pomiarowe

DPP - dodatkowe punkty pomiarowe

PP - pion pomiarowy

U - niepewność pomiarowa rozszerzona, przy poziomie ufności 95%, z uwzględnieniem współczynnika rozszerzenia $k=2$

WM_E - wartość wskaźnikowa poziomu emisji pól elektromagnetycznych dla miejsc dostępnych dla ludności dla składowej elektrycznej pola

WM_H - wartość wskaźnikowa poziomu emisji pól elektromagnetycznych dla miejsc dostępnych dla ludności dla składowej magnetycznej pola

7. Stwierdzenie zgodności

Na podstawie wytycznych podanych w Rozporządzeniu Ministra Zdrowia z dnia 17 grudnia 2019 r. w sprawie dopuszczalnych poziomów pól elektromagnetycznych w środowisku (Dz.U. 2019 poz. 2448) oraz sposobów sprawdzania dotrzymania tych poziomów zgodnie z Rozporządzeniem Ministra Klimatu z dnia 17 lutego 2020 r. w sprawie sposobów sprawdzania dotrzymania dopuszczalnych poziomów pól elektromagnetycznych w środowisku (Dz.U. 2020 poz. 258) oraz Rozporządzeniem Ministra Klimatu i Środowiska z dnia 6 maja 2022 r. zmieniającego rozporządzenie w sprawie sposobów sprawdzania dotrzymywania dopuszczalnych poziomów pól elektromagnetycznych w środowisku (Dz.U. 2022 poz. 1121), dotyczących źródła wymagań, które muszą być spełnione, w oparciu o zasadę podejmowania decyzji zgodną z pkt. 26 Rozporządzenia Ministra Klimatu z dnia 17 lutego 2020 r. (Dz.U. 2020 poz. 258), na podstawie wyników pomiarów pól elektromagnetycznych wykonanych w dniu 22.12.2022 stwierdzono, że wszystkie wyniki przeprowadzonych pomiarów w danym obszarze pomiarowym

oraz wyznaczone na tej podstawie wskaźniki WME oraz WMH są mniejsze od wartości dopuszczalnych – zgodnie z przepisami wydanymi na podstawie art. 122 ust. 1 ustawy z dnia 27 kwietnia 2001 r. – Prawo ochrony środowiska – załącznikiem do Rozporządzenia Ministra Klimatu i Środowiska z dnia 17 lutego 2020 r. w sprawie sposobów sprawdzania dotrzymywania dopuszczalnych poziomów pól elektromagnetycznych w środowisku (Dz.U. 2020 poz. 258, pkt 26).

8. Oświadczenie.

Wyniki badania odnoszą się wyłącznie do badanego obiektu.

Bez pisemnej zgody sprawozdanie nie może być powielane inaczej, jak tylko w całości.

Uwagi i zastrzeżenia przyjmowane są w formie pisemnej.

9. Spis załączników.

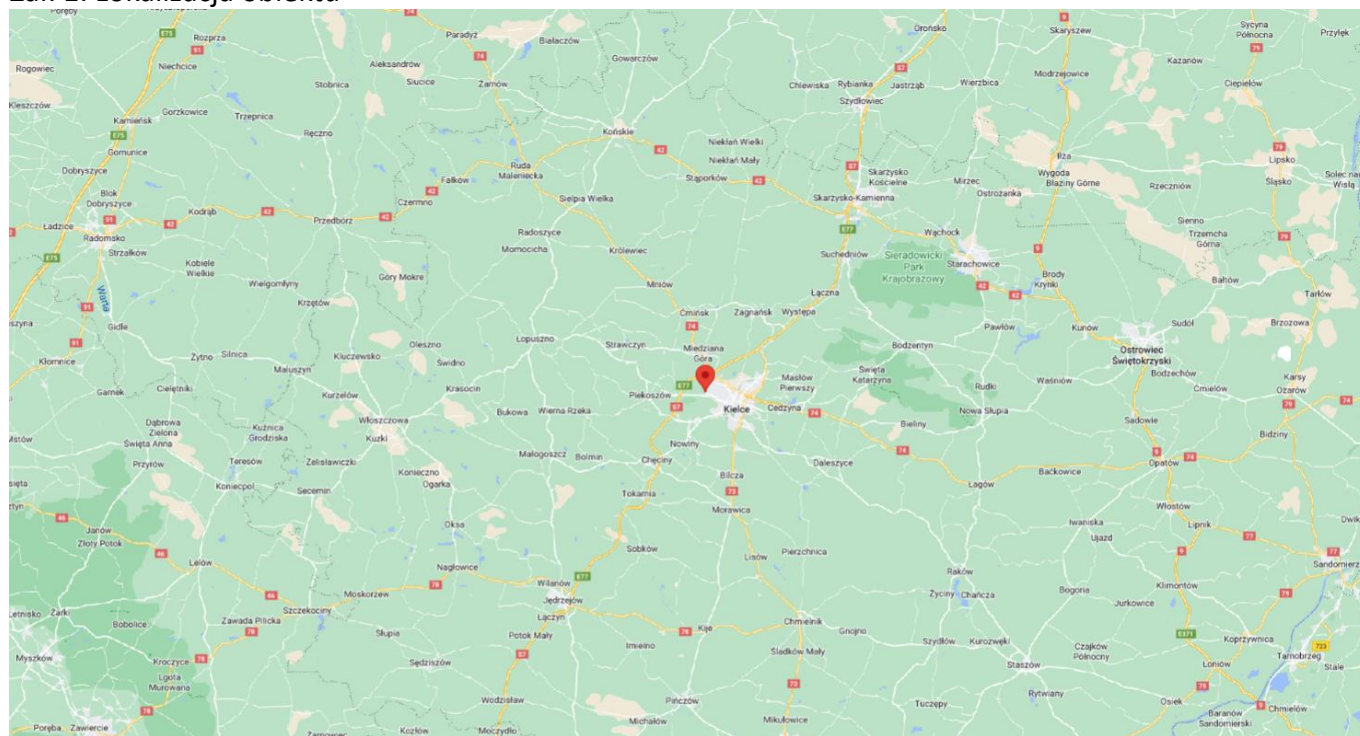
Zał. 1. Lokalizacja obiektu.

Zał. 2. Widok pionów pomiarowych

Zał. 3. Załączniki graficzne

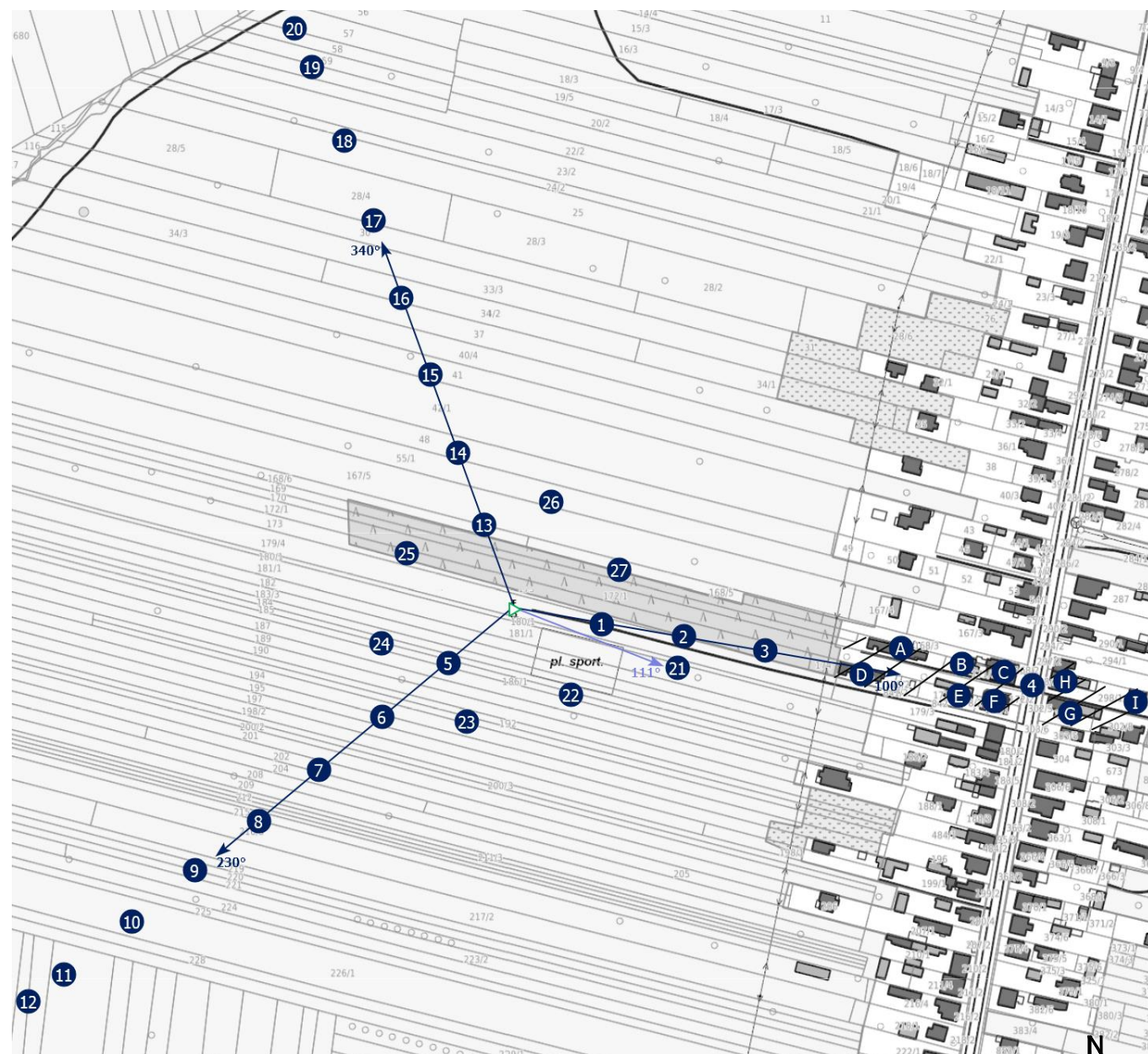
Koniec sprawozdania

Zał. 1. Lokalizacja obiektu



| Współrzędne geograficzne | |
|--------------------------|---------------|
| długość: | 20°34'07.57"E |
| szerokość: | 50°53'15.11"N |

Załącznik 2. Widok pionów pomiarowych



LEGENDA:



inna instalacja
radiokomunikacyjna



brak dostępu



nr pion pomiaru



antena sektorowa



antena radioliowa

Skala:1:4600

0 75 150m

„Bez pisemnej zgody Laboratorium niniejsze sprawozdanie nie może być powielane inaczej, jak tylko w całości. Ponadto wyniki dotyczą tylko badanych obiektów przywołanych w niniejszym sprawozdaniu z badań”

94/12/OŚ/2022– P4-W

Strona 9 z 10

Załącznik 3. Załączniki graficzne.

